

JCAHPCの新スーパーコンピュータ *Oakforest-PACS*

～1年の運用を通してみた利用と成果～

朴 泰祐

JCAHPC・運用支援部門長／筑波大学計算科学研究中心

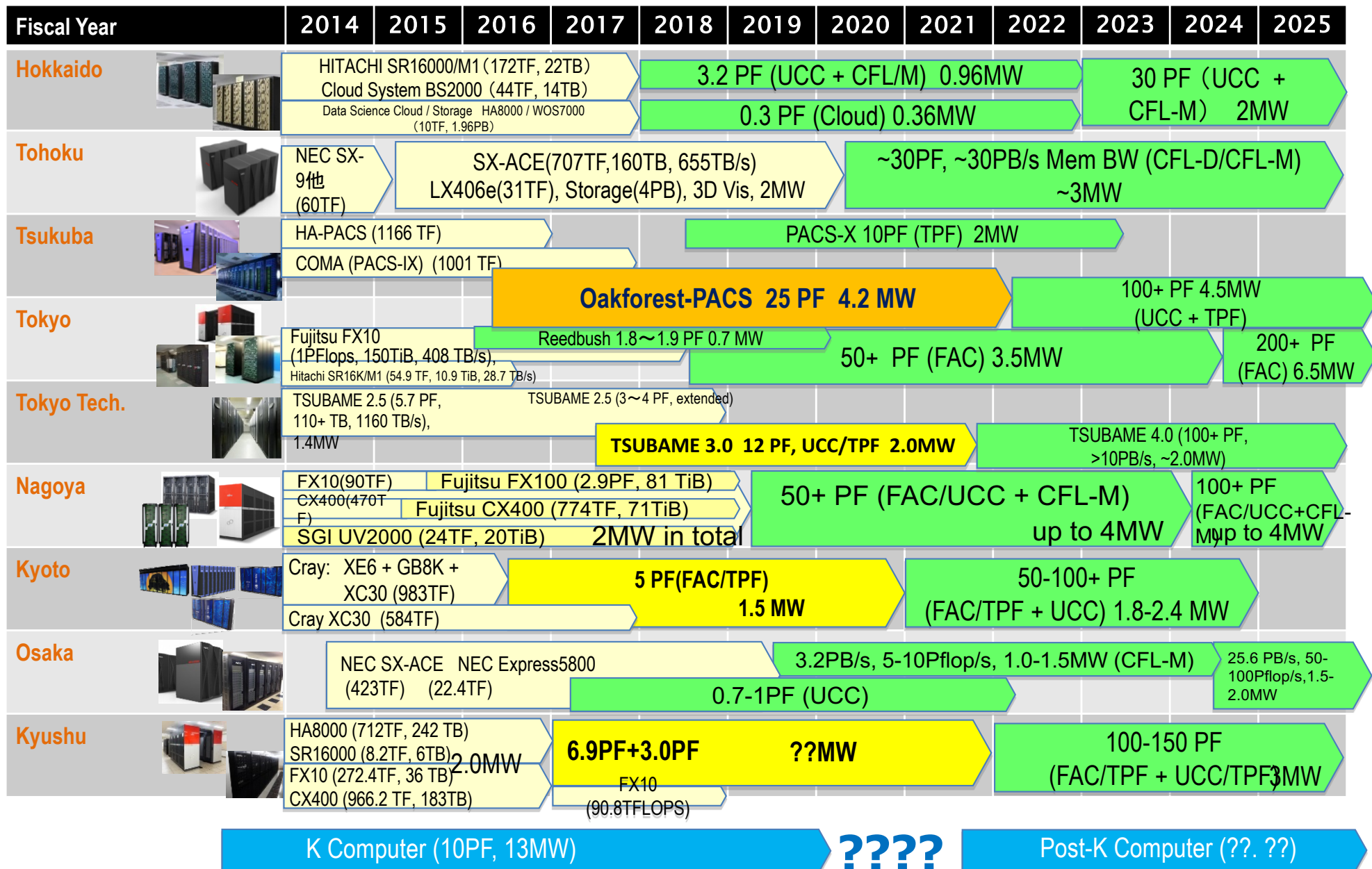
資料協力：
JCAHPC
井戸村泰宏氏@原研
石川裕氏@AICS
中尾昌広氏@AICS

アウトライン

- Oakforest-PACSの導入
- システム仕様
- 運用・システムソフトウェア
- アプリケーション
- 運用を通じて

Oakforest-PACSの導入

9 大学スパコンセンター導入計画 (Feb. 2017)



Power consumption indicates maximum of power supply (includes cooling facility)

Oakforest-PACS (OFP)

- 2016年12月1日稼働開始
- 8,208 Intel Xeon/Phi (KNL), ピーク性能25PFLOPS
 - 富士通が構築
- **TOP 500初出 6位（国内1位）, HPCG 3位（国内2位）**
- **最先端共同HPC 基盤施設(JCAHPC: Joint Center for Advanced High Performance Computing)**
 - 東京大学情報基盤センター
 - 筑波大学計算科学研究中心
 - 東京大学柏キャンパスの東京大学情報基盤センター内に、両機関の教職員が中心となって設計するスーパーコンピュータシステムを設置し、最先端の大規模高性能計算基盤を構築・運営するための組織
 - <http://jcahpc.jp>



TOP500 list on Nov. 2017 (#50)

#	Machine	Architecture	Country	Rmax (TFLOPS)	Rpeak (TFLOPS)	MFLOPS/W
1	TaihuLight, NSCW	MPP (Sunway, SW26010)	China	93,014.6	125,435.9	6051.3
2	Tianhe-2 (MilkyWay-2), NSCG	Cluster (NUDT, CPU + KNC)	China	33,862.7	54,902.4	1901.5
3	Piz Daint, CSCS	MPP (Cray, CPU + GPU)	Switzerland	19,590.0	25,326.3	10398.0
4	Gyoukou, JAMSTEC	MPP (Exascaler, PEZY-SC2)	Japan	19,125.8	28,192.0	14167.3
5	Titan, ORNL	MPP (Cray, CPU + GPU)	United States	17,590.0	27,112.5	2142.8
6	Sequoia, LLNL	MPP (IBM, BlueGene/Q)	United States	17,173.2	20,132.7	2176.6
7	Trinity, NNSA/LABNL/SNL	MPP (Cray, KNL, Xeon)	United States	14,137.3	43,902.6	3667.8
8	Cori, NERSC-LBNL	MPP (Cray, KNL)	United States	14,014.0	20,000.0	3556.7
9	Oakforest-PACS, JCAHPC	Cluster (Fujitsu, KNL)	Japan	13,554.6	25,004.9	4985.1
10	K Computer, RIKEN AICS	MPP (Fujitsu)	Japan	10,510.0	11,280.4	830.2

KNLシステムとして
は最高の55%

赤字: 新規またはJun.2017からのアップグレード

Oakforest-PACS (OFP)



- ピーク性能25 PFLOPS
- 8208 KNL CPUs
- OmniPathによるFBB Fat-Tree
- HPL 13.55 PFLOPS
2016/11:
国内第1位
世界第6位
⇒ 2位、9位 (2017/11)
- HPCG 0.385PFLOSP
(2.8% of HPL)
2016/11: 世界第3位
⇒ 6位
- Green500
2016/11: 6位
⇒ 22位
- IO500
2017/11: 1位

計算ノードとシャーシ

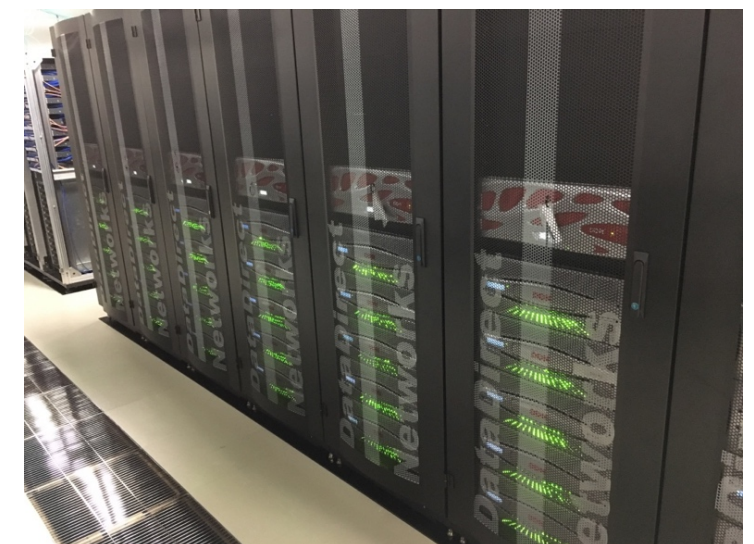
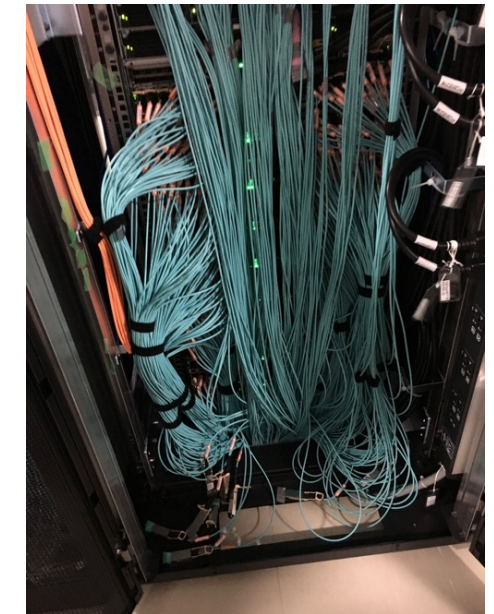


Computation node (Fujitsu PRIMERGY CX1640 M1)
with single chip Intel Xeon Phi (Knights Landing, 3+TFLOPS)
and Intel Omni-Path Architecture card (100Gbps)



Chassis with 8 nodes, 2U size
(Fujitsu PRIMERGY CX600 M1)

水冷パイプ、リアパネル冷却、OPA、ファイルサーバ



ExaComm'17@ISC2017, Frankfurt

システム仕様

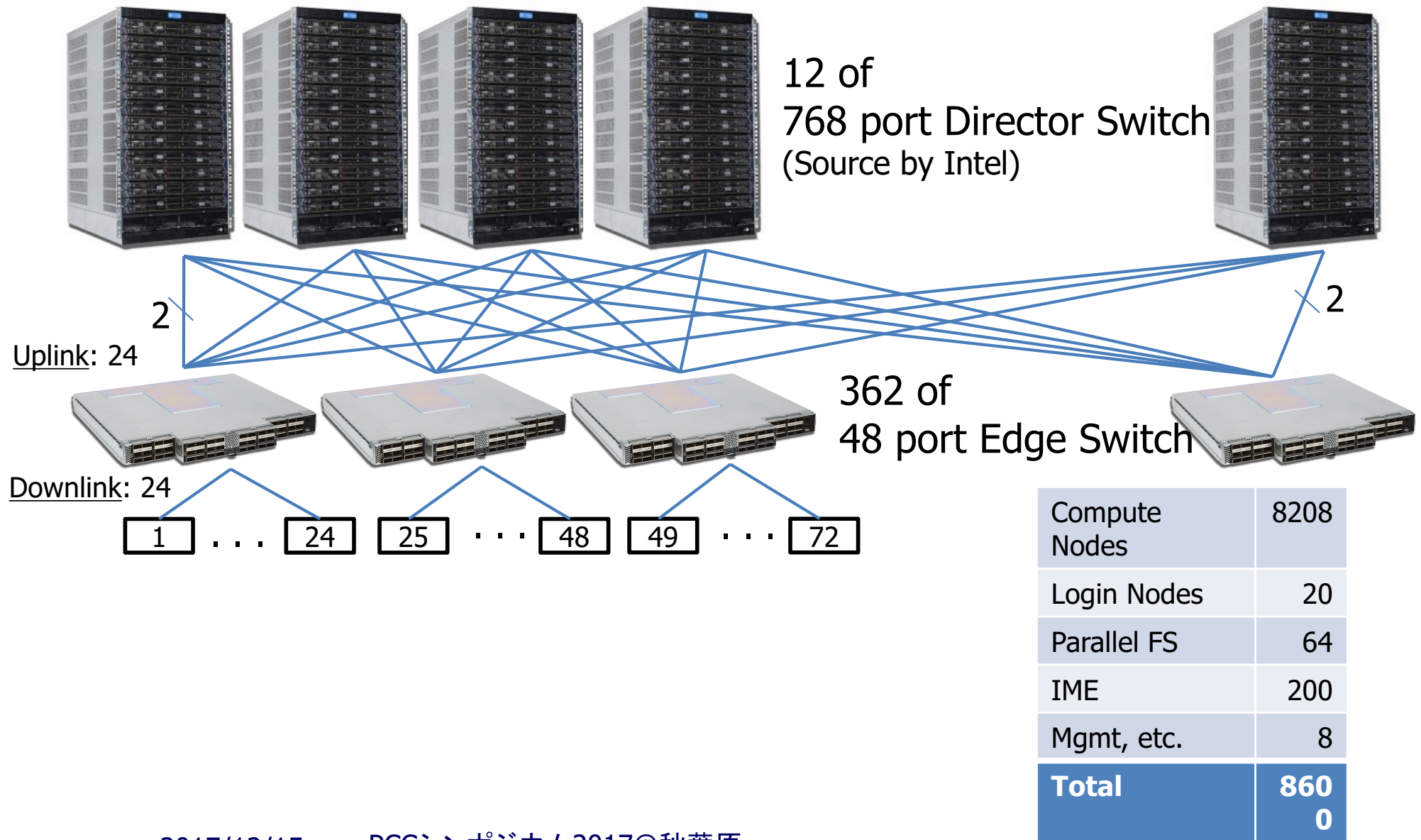
Oakforest-PACSのシステム仕様

Total peak performance	25 PFLOPS	
Total number of compute nodes	8,208	
Compute node	Product	Fujitsu Next-generation PRIMERGY server for HPC (PRIMERGY CX1640 M1)
	Processor	Intel® Xeon Phi™ (Code name: Knights Landing), 68 cores
	Memory	MCDRAM 16 GB, > 400 GB/sec (effective rate)
		DDR4 96 GB, 115.2 GB/sec (DDR4-2400 x 6ch, peak rate)
Inter-connect	Product	Intel® Omni-Path Architecture
	Link speed	100 Gbps
	Topology	Fat-tree with (completely) full-bisection bandwidth
Login node	Product	Fujitsu PRIMERGY RX2530 M2 server
	# of servers	20
	Processor	Intel Xeon E5-2690v4 (2.6 GHz 14 core x 2 socket)
	Memory	256 GB, 153 GB/sec (DDR4-2400 x 4ch x 2 socket)

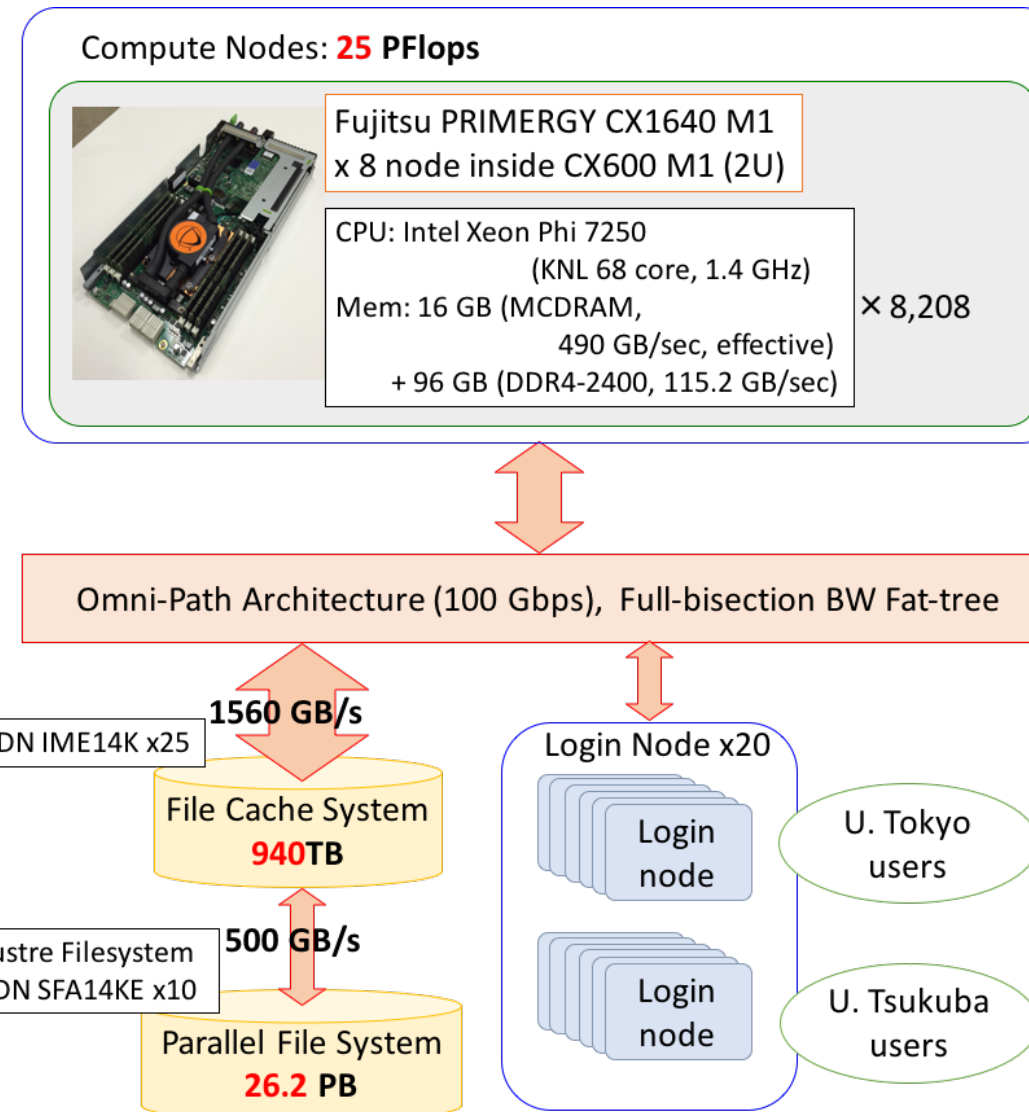
Oakforest-PACSのI/O仕様

Parallel File System	Type	Lustre File System
	Total Capacity	26.2 PB
	Meta data	DataDirect Networks MDS server + SFA7700X
		# of MDS
		4 servers x 3 set
	Object storage	MDT
		7.7 TB (SAS SSD) x 3 set
		DataDirect Networks ES14K
		# of OSS (Nodes)
		10 (20)
	Aggregate BW	500 GB/sec
Fast File Cache System	Type	Burst Buffer, Infinite Memory Engine (by DDN)
	Total capacity	940 TB (NVMe SSD, including parity data by erasure coding)
	Product	DataDirect Networks IME14K
	# of servers (Nodes)	25 (50)
	Aggregate BW	1,560 GB/sec

Intel® Omni-Path Architectureによる フルバイセクションバンド幅の相互結合網



利用者から見たシステム



Oakforest-PACSの特徴

- 最先端のHPC向けメニーコアCPUの利用
 - 極めて高い並列性（ノード内、ノード間）を持つHPCアプリケーションが主要ターゲット（3TFLOPS）
 - 高度なチューニングにより性能を大幅に向上可能
 - 初期プログラム移植の容易さ（OpenMP+MPI）
- 最先端の高性能相互結合網をfull-bisectionバンド幅で装備
 - 100Gbpsのリンク速度
 - ジョブスケジューラによるノード配置の自由度が高い
 - ノード位置にかかわらず全てのファイルを高速にアクセス可能
 - 超並列アプリケーションを容易に実行可能
- 高性能並列ファイルシステムとバーストバッファ
 - Lustreによる高並列・高性能アクセス（500GB/s）
 - ファイルキャッシュ（バーストバッファ）による1TB/s越えの超高速アクセス

JPY (=Watt)/GFLOPS 比

System	JPY/GFLOPS	
Oakleaf/Oakbridge-FX (Fujitsu) (Fujitsu PRIMEHPC FX10)	125	
Reedbush-U (SGI) (Intel BDW)	62.0	
Reedbush-H (SGI) (Intel BDW+NVIDIA P100)	17.1	
Oakforest-PACS (Fujitsu) (Intel Xeon Phi/Knights Landing)	16.5	Better

運用・システムソフトウェア

運用状況

- 2016/12~2017/3 試験運用（無償）
 - システム安定稼働チェック
 - 機能・性能の確認
 - （特別）大規模HPCチャレンジ：GBP
- 2017/4～公開運用
 - HPCI, 各大学の個別運用プログラム
 - 実運用だがユーザによってはここでチューニング開始
 - 試験運用で実績を積んだグループはジャンプスタート（素粒子、光物性等）
 - 月末のメンテナンス前に大規模HPCチャレンジとして約24時間の全系占有利用
- 稼働状況
 - 実稼働率（メンテナンス、停電等を除く）：ほぼ100%
 - 利用率：45～55%程度（後述）

運用：KNLのメモリモード

- メモリモード
 - Cache:Flat = 50:50 (4096+4096 nodes)
 - 様子を見て比率を変える予定だが現状ではバランスしている
- 動的メモリモード変更
 - オンデマンドでCache:Flatの比率を緩やかに動的変更することを計画中
 - ノードのリブートが予想より時間がかかるため様子見
- 大規模ジョブ（最大2048ノード）が通常利用可能
 - メモリモードの関係もあり、リソース確保が難しい
 - キューイングの自由度に制限（fair shareを実行していない）
 - 利用率の抑制原因なのでは？⇒さらに解析・改善が必要

Oakforest-PACS のソフトウェア

- OS: Red Hat Enterprise Linux (ログインノード)、CentOS および McKernel (計算ノード、切替可能)
 - **McKernel**: 理研AICSで開発中のメニーコア向けOS
 - Linuxに比べ軽量、ユーザプログラムに与える影響なし
 - ポスト京コンピュータにも搭載される予定。
- コンパイラ : GCC, Intel Compiler, XcalableMP
 - **XcalableMP**: 理研AICSと筑波大で共同開発中の並列プログラミング言語
 - CやFortranで記述されたコードに指示文を加えることで、性能の高い並列アプリケーションを簡易に開発することができる。
- ライブラリ・アプリケーション: オープンソースソフトウェア
 - **ppOpen-HPC**, OpenFOAM, ABINIT-MP, PHASE system, FrontFlow/blue , LAPACK, ScaLAPACK, PETSc, METIS, SuperLU etc.

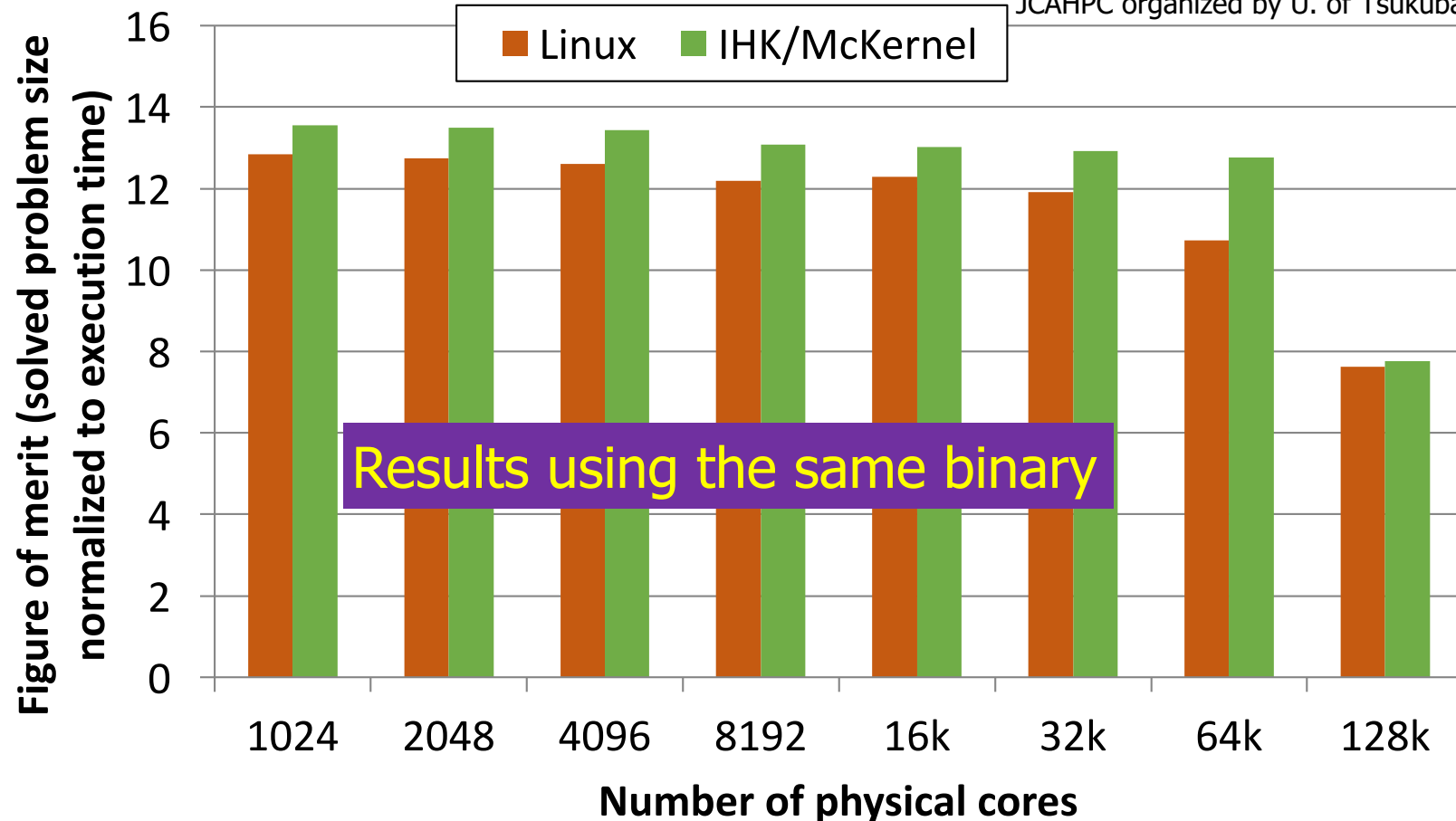
McKernel on OFP

- McKernel on OFPの開発状況
 - 基本部分は動作しており運用に向けて準備中。
 - Linux only modeからMcKernel modeに移行する際に時間がかかる場合がありバッチジョブシステム側でジョブをKillしてしまうが、その対策方法がわかったのでその対策を施したときの影響を調査中。
 - ⇒ MCDRAM上でクリーンな連続領域を確保するのに時間を要する
 - ⇒ MCDRAMを Hot-Pluggable Memoryとすることで解決する見込み
 - 別途、mcexecが不具合を起こす場合があり、調査中。
 - 上記が済んで大規模でのアプリ実行動作を確認した後、一般に運用に向けての最終検討を行う予定。
- McKernel on OFPの意義
 - OFP上のアプリケーション性能向上
 - ポスト「京」に向けてのMcKernel開発（理研AICS with 東大）
 - ユーザにMcKernelに慣れてもらう⇒ポスト「京」

McKernel評価 : GeoFEM (University of Tokyo)

- ICCG with Additive Schwartz Domain Decomposition - weak scaling
- Up to 18% improvement

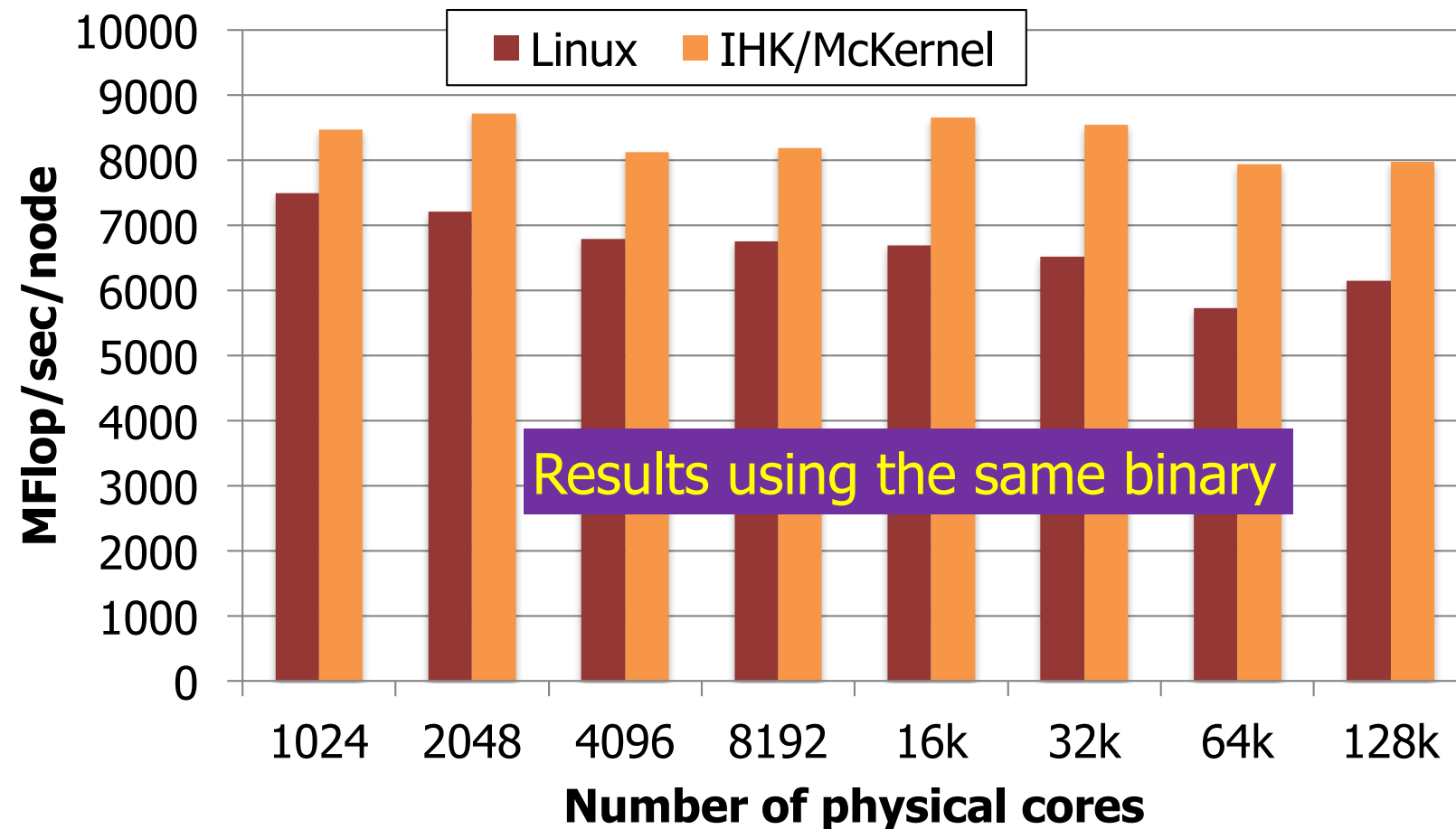
Acknowledgement: Kengo Nakajima, University of Tokyo, for providing GeoFEM. This result is on Oakforest-PACS supercomputer, 25 PF in peak, at JCAHPC organized by U. of Tsukuba and U. of Tokyo



McKernel評価 : CCS-QCD (University of Tsukuba)

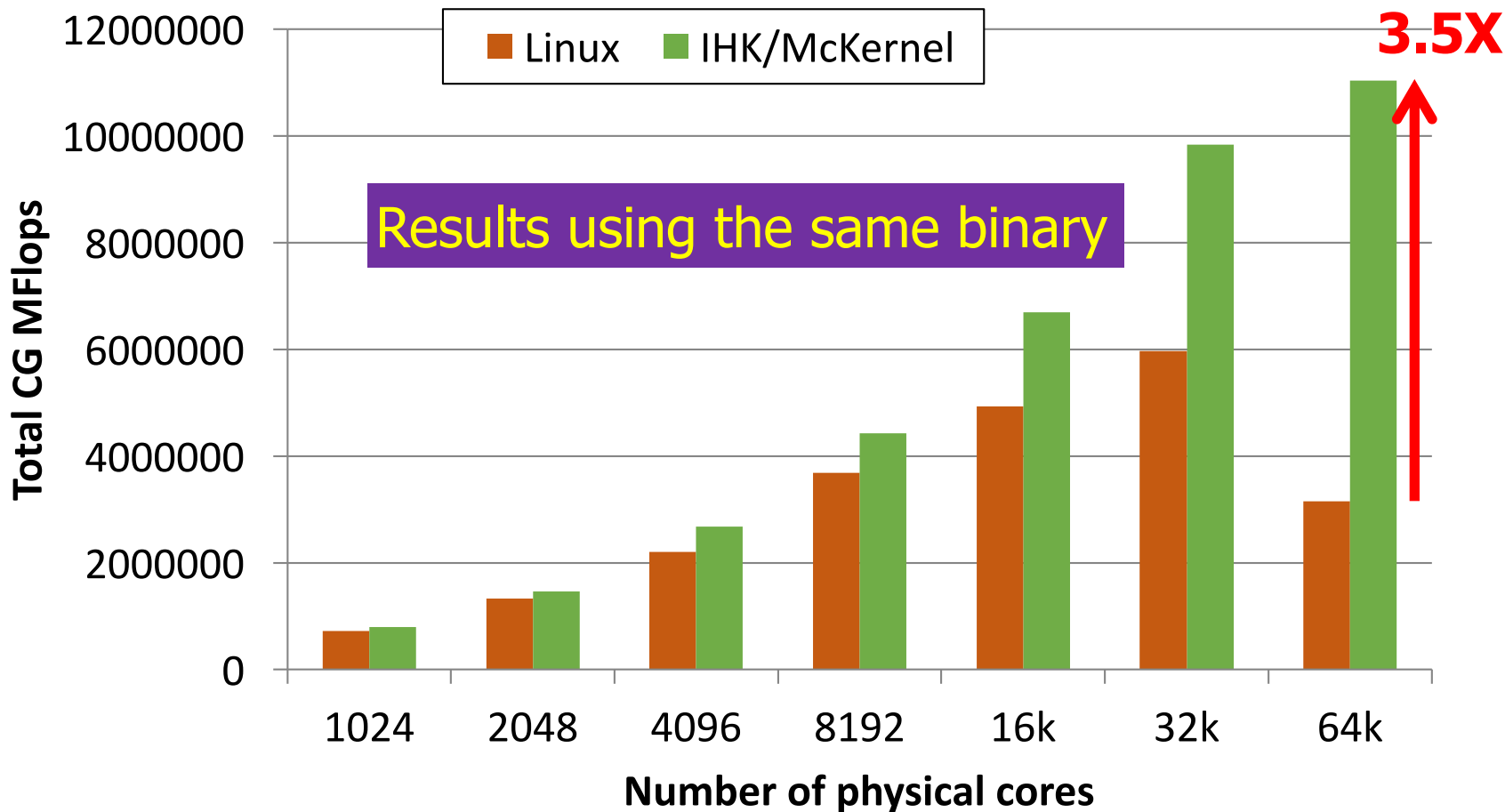
- Lattice quantum chromodynamics code - weak scaling
- Up to 38% improvement

Acknowledgement: Ken'ichi Ishikawa, Hiroshima University, providing CCS-QCD. This result is on Oakforest-PACS supercomputer, 25 PF in peak, at JCAHPC organized by U. of Tsukuba and U. of Tokyo



McKernel評価 : miniFE (CORAL benchmark suite)

- Conjugate gradient - strong scaling
- Up to 3.5X improvement (Linux falls over..)



Oakforest-PACS supercomputer, 25 PF in peak, at JCAHPC organized by U. of Tsukuba and U. of Tokyo

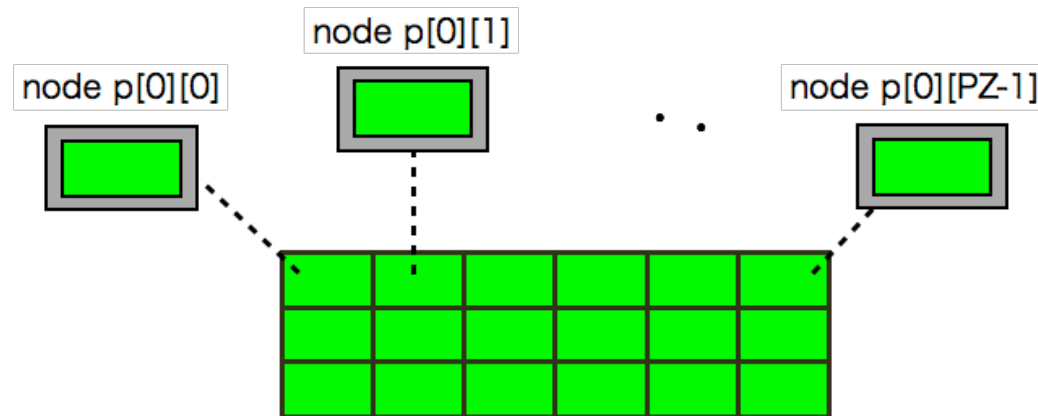
XcalableMP (XMP)

- XMP on OFP
 - 理研AICSと筑波大の共同研究で実装・評価中
 - OFPのノード間MPI通信とノード内MPI+OpenMPでの性能評価
- QCDミニアプリでの性能評価 (by 中尾昌広氏)
 - ポスト「京」重点領域研究アプリ (Fibre) の一つ
 - 4次元格子上のステンシル計算、倍精度複素数演算
 - 4次元隣接通信とAllreduce通信
 - ここでは2次元プロセス配列に4次元格子をマッピング
 - OFPの最大256ノードを利用 (64スレッド／ノード)

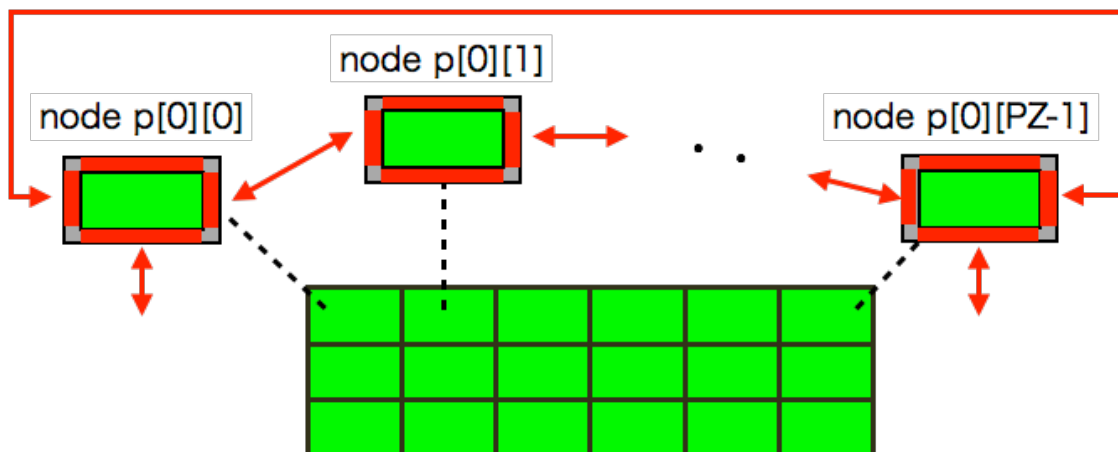
分散配列の定義と袖交換

```
Quark_t v[NT][NZ][NY][NX];  
#pragma xmp template t[NT][NZ]  
#pragma xmp nodes p[PT][PZ]  
#pragma xmp distribute t[block][block] onto p  
#pragma xmp align v[i][j][*][*] with t[i][j]  
#pragma xmp shadow v[1][1][0][0]
```

4次元の配列データを2次元ブロック分散する
幅1の袖を分散配列に追加する



```
#pragma xmp reflect(v) width(/periodic/1,/periodic/1,0,0) orthogonal  
WD(..., v); // ステンシル計算
```



forループ文の分割

```
#pragma xmp reflect(v) width(/periodic/1,/periodic/1,0,0) orthogonal  
WD(..., v); // ステンシル計算
```

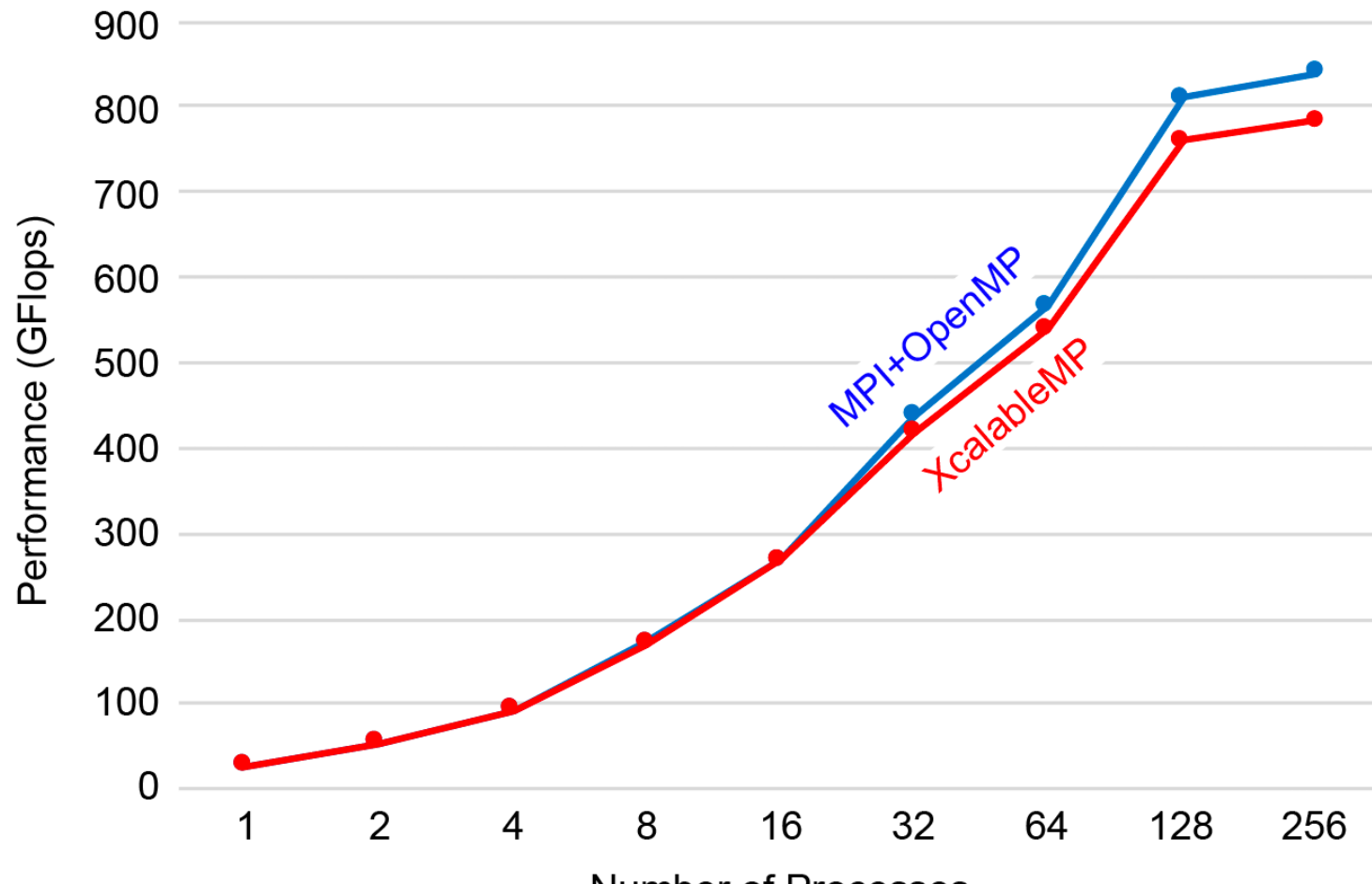


```
void WD(..., Quark_t v)  
{  
#pragma xmp loop (it,iz) on t[it][iz]  
#pragma omp parallel for collapse(4)  
for(it = 0; it < NT; it++){  
    for(iz = 0; iz < NZ; iz++){  
        for(iy = 0; iy < NY; iy++){  
            for(ix = 0; ix < NX; ix++){  
                ...  
            }  
        }  
    }  
}
```

XMP指示文で各プロセスに分割したfor文に対して、
さらにOpenMP指示文でスレッド分割を行う。

性能評価(計算ノード内は64スレッド)

問題サイズは32x32x32x32



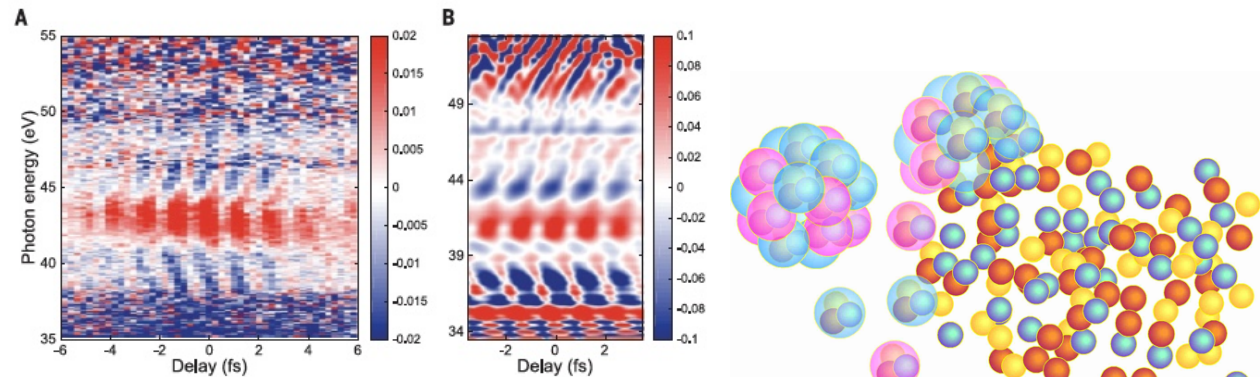
1 MPI proc./node, 64 thread/proc

Oakforest-PACSのアプリケーション

Oakforest-PACS : 代表的アプリケーション

■ SALMON/ARTED

- 電子動力学



■ Lattice QCD

- 格子量子色力学

■ NICAM-COCO

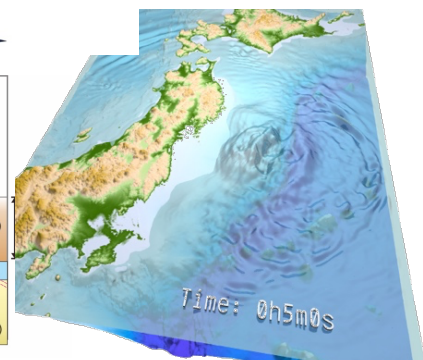
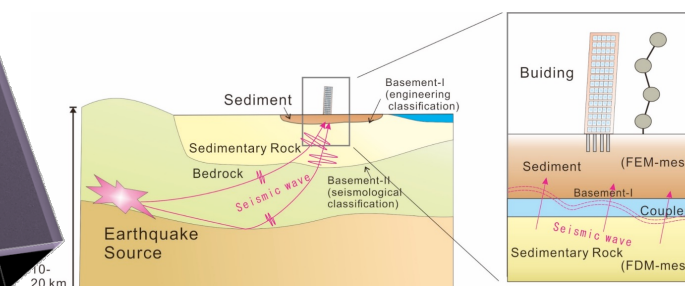
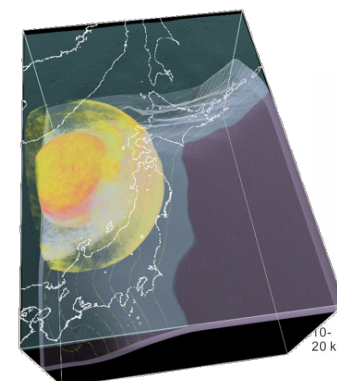
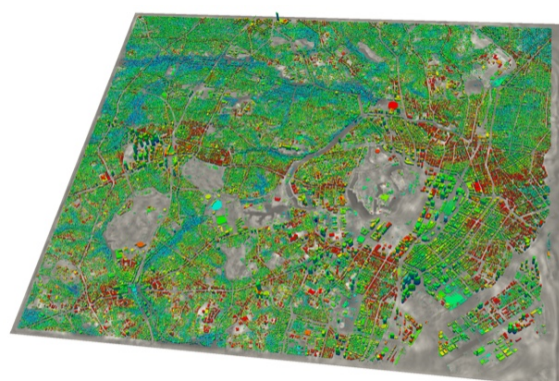
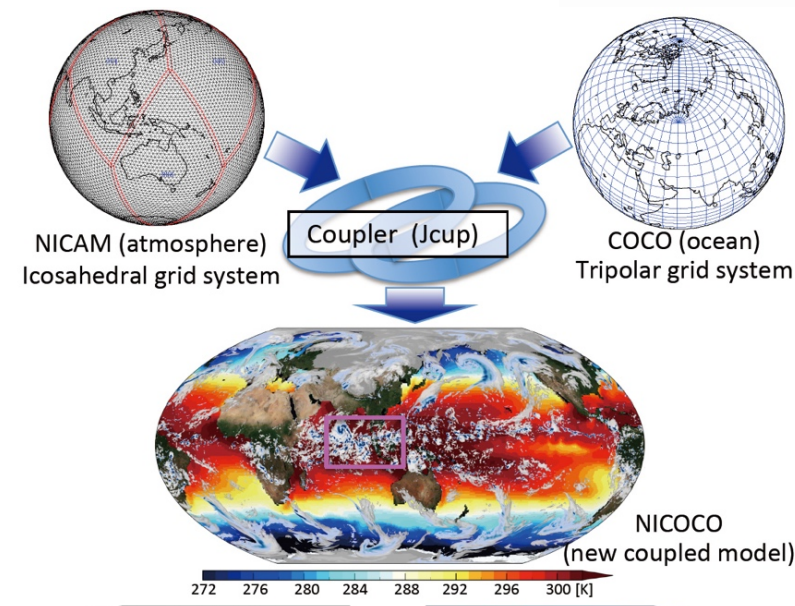
- 全地球大気・海洋連成

■ GHYDRA

- 三次元地盤震動 (FEM)

■ Seism3D/OpenSWPC

- 三次元広域波動伝搬 (FDM)

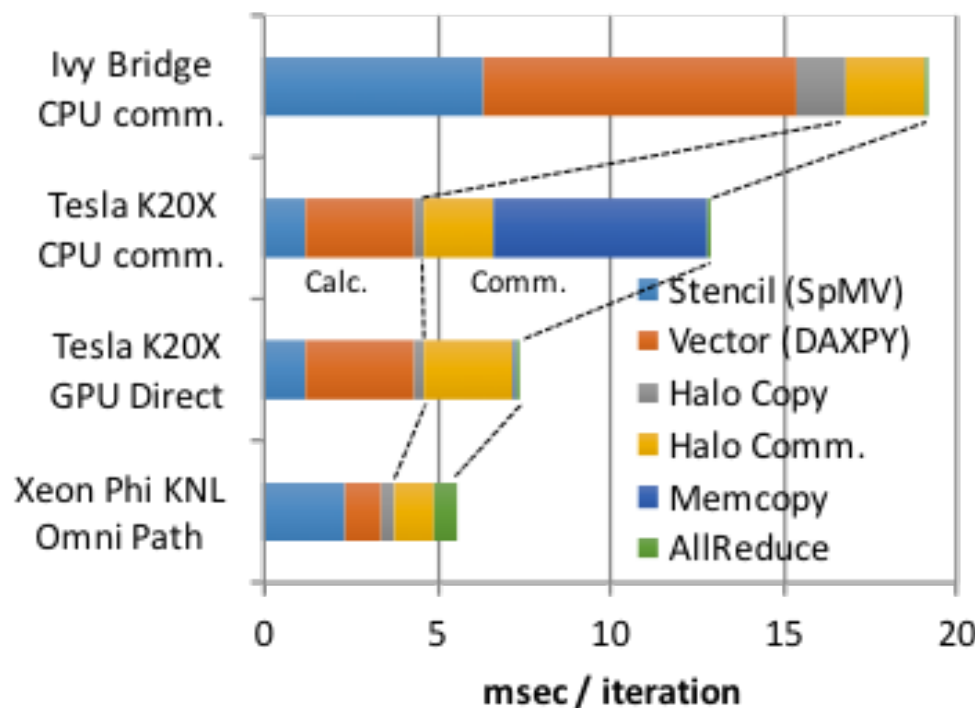


アプリケーション紹介

- GT5D (PI: 井戸村泰宏@原研)
 - 核融合トカマクシミュレーション
 - 5次元自由度の超並列・超大規模シミュレーション
 - 「京」コンピュータ等での実績
 - 「第1回OFP利活用報告会」における井戸村氏の発表から抜粋
- ARTED (PI: 矢花一浩@筑波大)
 - 光物性等のための電子動力学法シミュレーション
 - 超並列波数空間・小規模実空間格子シミュレーション
 - 「京」コンピュータ、GPUクラスタ等での実績

Many core optimization of GT5D kernel

- Many core optimization of finite difference kernel [Asahi, SC15, IEEE-TPDS2017]
 - CPU: reuse stencil data on large shared cache loaded by other threads
 - MIC: optimized 2D thread mapping for distributed small L2 caches
 - GPU: physics based loop design to reuse registers and avoid warp divergence
- Multi-GPU/MIC optimization of Krylov (GCR) solver [Matsumoto, AESJ2016]
 - Direct communication dramatically improves parallel performance
 - Cost of the remaining communication is relatively large



Parallel performance with 16MPI processes
(GCR solver for 4D grids 128x128x32x128)

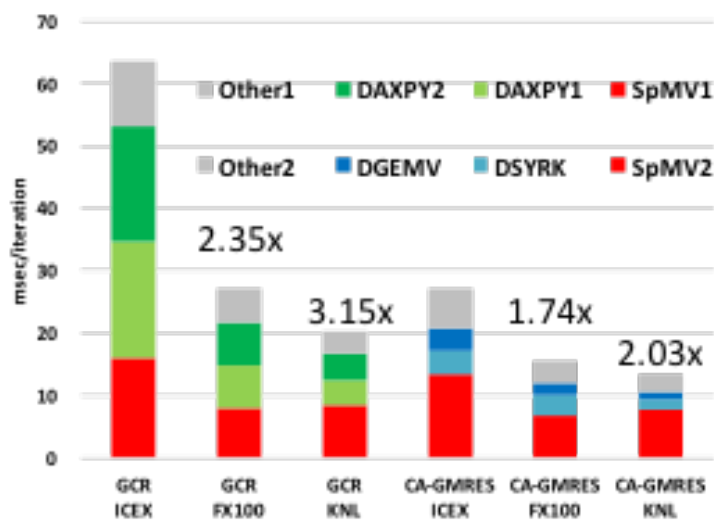
HA-PACS@Tsukuba Univ.
IvyBridge(224GFlops) x 2 / node
K20X(~1.3TFlops) x 4 / node
InfinibandQDR (8GB/s)

Oakforest-PACS@JCA
KNL(~3TFlops) x 1 / node
Intel Omni Path (12.5GB/s)

Performance of GCR/CA-GMRES on ICEX/FX100/KNL

[Idomura et al., Scala@SC17]

Krylov solvers@2 nodes (GT5D: 160x160x32x96, $m_i/m_e=1836$)



		ICEX			FX100			KNL		
Kernel	Flop /Byte	Gflops /node	Roofline ratio	Gflops /node	Roofline ratio	ICEX ratio	Gflops /node	Roofline ratio	ICEX ratio	
SpMV1	1.03	81.1	0.76	162.7	0.68	2.01	153.2	0.35	1.89	
DAXPY1	0.08	8.4	0.88	22.9	0.93	2.72	38.1	0.95	4.53	
DAXPY2	0.21	21.4	0.90	57.2	0.97	2.68	95.4	0.97	4.47	
SpMV2	1.29	90.0	0.69	178.0	0.63	1.98	157.7	0.30	1.75	
DSYRK	3.00	264.2	1.03	303.1	0.63	1.15	547.7	0.55	2.07	
DGEMV	0.23	23.8	0.89	43.6	0.66	1.83	76.7	0.69	3.22	

- Performance comparison between ICEX and FX100/KNL
 - GCR(SpMV,DAXPY) x2.35/x3.15
 - CA-GMRES(SpMV,DSYRK,DGEMV) x1.74/x2.03

→ Memory intensive kernels get larger performance gain
- Performance comparison between GCR and CA-GMRES
 - CA-GMRES is x2.34/x1.74/x1.51 faster than GCR on ICEX/FX100/KNL

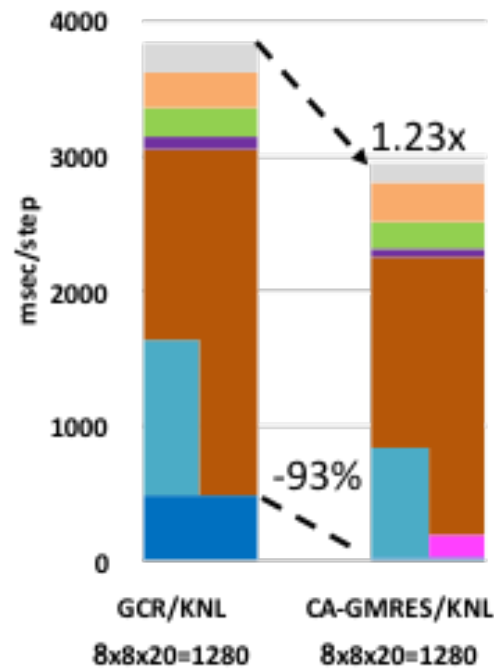
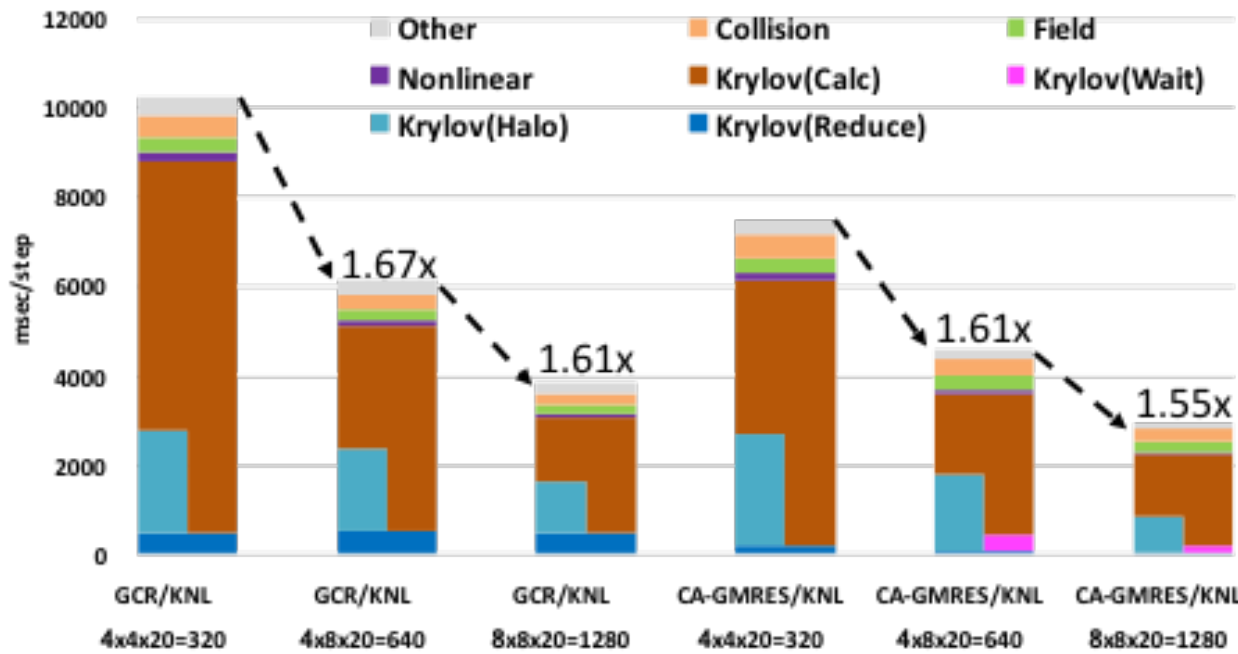
→ Compute intensive CA-Krylov methods are suitable for low-B/F machines

Strong scaling of GT5D on Oakforest-PACS

(slide courtesy
by Y. Idomura)

[Idomura et al., ScalA@SC17]

Strong scaling from 320-1280 nodes (GT5D: 320x320x32x96x20, $m_i/m_e=1836$)

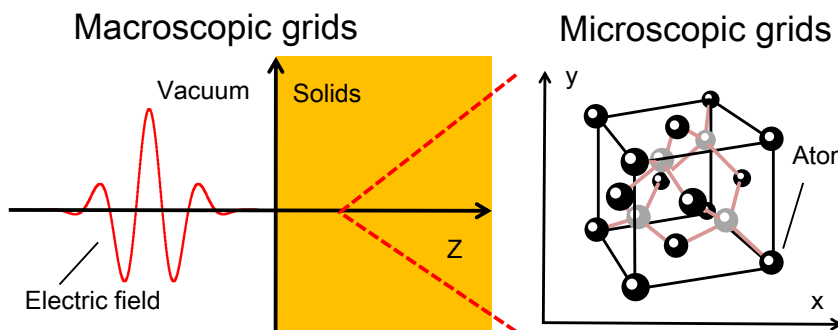


- Good strong scaling up to 1280 nodes (87k cores)
- Communication overlap hides almost all halo communication cost
- Cost of All_Reduce is reduced from 12.5%(GCR) to 1.0%(CA-GMRES)
→Promising feature for Exa-scale computing

Xeon Phi tuning on ARTED (with Y. Hirokawa under collaboration with Prof. K. Yabana, CCS) → SALMON now



- ARTED – Ab-initio Real-Time Electron Dynamics simulator
- Multi-scale simulator based on RTRSDFT (Real-Time Real-Space Density Functional Theory) developed in CCS, U. Tsukuba to be used for Electron Dynamics Simulation
 - RSDFT : basic status of electron (no movement of electron)
 - RTRSDFT : electron state under external force
- In RTRSDFT, RSDFT is used for ground state
 - RSDFT : large scale simulation with 1000~10000 atoms (ex. K-Computer)
 - RTRSDFT : calculate a number of unit-cells with 10 ~ 100 atoms



RSDFT : Real-Space Density Functional Theory
RTRSDFT : Real-Time RSDFT

Stencil code (original)

```
integer, intent(in) :: IDX(-4:4,NL),IDY(-4:4,NL),IDZ(-4:4,NL)

! NL = NLx*NLy*NLz
do i=0,NL-1
    ! x-computation
    v(1)=Cx(1)*(E(IDX(1,i))+E(IDX(-1,i))) ...
    w(1)=Dx(1)*(E(IDX(1,i))-E(IDX(-1,i))) ...

    ! y-computation
    v(2)=Cy(1)*(E(IDY(1,i))+E(IDY(-1,i))) ...
    w(2)=Dy(1)*(E(IDY(1,i))-E(IDY(-1,i))) ...

    ! z-computation
    v(3)=Cz(1)*(E(IDZ(1,i))+E(IDZ(-1,i))) ...
    w(3)=Dz(1)*(E(IDZ(1,i))-E(IDZ(-1,i))) ...

    ! update
    F(i) = B(i)*E(i) + A*E(i) - 0.5d0*(v(1)+v(2)+v(3)) - zI*(w(1)+w(2)+w(3))
end do
```

Original code just compiled on KNC with “-O3” option → less than 5% of peak!

Stencil code (original)

```
integer, intent(in) :: IDX(-4:4,NL), IDY(-4:4,NL), IDZ(-4:4,NL)  
! NL = NLx*NLy*NLz  
do i=0,NL-1  
    ! x-computation  
    v(1)=Cx(1)*(E(IDX(1,i))+E(IDX(-1,i))) ...  
    w(1)=Dx(1)*(E(IDX(1,i))-E(IDX(-1,i))) ...  
  
    ! y-computation  
    v(2)=Cy(1)*(E(IDY(1,i))+E(IDY(-1,i))) ...  
    w(2)=Dy(1)*(E(IDY(1,i))-E(IDY(-1,i))) ...  
  
    ! z-computation  
    v(3)=Cz(1)*(E(IDZ(1,i))+E(IDZ(-1,i))) ...  
    w(3)=Dz(1)*(E(IDZ(1,i))-E(IDZ(-1,i))) ...  
  
    ! update  
    F(i) = B(i)*E(i) + A*E(i) - 0.5d0*(v(1)+v(2)+v(3)) - zI*(w(1)+w(2)+w(3))  
end do
```

indirect index array:
keeping nearest neighbor index

write-only in the loop

vector length=4, for DP-complex vector calculation-> 512-bit AVX fittable

For automatic vectorization

```
real(8), intent(in) :: B(0:NLz-1,0:NLy-1,0:NLx-1)
complex(8),intent(in) :: E(0:NLz-1,0:NLy-1,0:NLx-1)
complex(8),intent(out) :: F(0:NLz-1,0:NLy-1,0:NLx-1)
```

convert to 3D array

```
#define IDX(dt) iz,iy,iand(ix+(dt)+NLx,NLx-1)
#define IDY(dt) iz,iand(iy+(dt)+NLy,NLy-1),ix
#define IDZ(dt) iand(iz+(dt)+NLz,NLz-1),iy,ix
```

direct index calculation

```
do ix=0,NLx-1
do iy=0,NLy-1
!dir$ vector nontemporal(F)
do iz=0,NLz-1
```

non-temporal write without cache

! z-computation

v=v+Cz(1)*(E(IDZ(1))+E(IDZ(-1))) ...

w=w+Dz(1)*(E(IDZ(1))-E(IDZ(-1))) ...

! y-computation

! x-computation

F(iz,iy,ix) = B(iz,iy,ix)*E(iz,iy,ix) &

& + A *E(iz,iy,ix) &

& - 0.5d0*v - zI*w

end do

end do

end do

reordering according to
memory access sequence

Hand vectorization – unit-stride memory access optimization (how to utilize AVX-512 SIMD load and operation)

E =	<table border="1"><tr><td></td><td></td><td></td><td></td><td></td><td></td><td></td><td></td><td></td><td></td><td></td><td></td><td></td><td></td><td></td><td></td><td></td><td></td><td></td><td></td></tr><tr><td>15</td><td>14</td><td>13</td><td>12</td><td>11</td><td>10</td><td>9</td><td>8</td><td>7</td><td>6</td><td>5</td><td>4</td><td>3</td><td>2</td><td>1</td><td>0</td><td></td><td></td><td></td><td></td></tr><tr><td></td><td></td><td></td><td></td><td></td><td></td><td></td><td></td><td></td><td></td><td></td><td></td><td></td><td></td><td></td><td></td><td></td><td></td><td></td><td></td></tr></table>																					15	14	13	12	11	10	9	8	7	6	5	4	3	2	1	0																								
15	14	13	12	11	10	9	8	7	6	5	4	3	2	1	0																																														

(1) reading nearest neighboring points from 3-D domain array E by 512-bit vector load to store in v0, v1 and v2

(1) $v_0 = [15, 14, 13, 12], v_1 = [3, 2, 1, 0], v_2 = [7, 6, 5, 4]$

(2) generate 4x4 square matrix from ± 4 of nearest neighboring points

F[3]	F[2]	F[1]	F[0]
2	1	0	15
1	0	15	14
0	15	14	13
15	14	13	12

, p =

F[3]	F[2]	F[1]	F[0]
4	3	2	1
5	4	3	2
6	5	4	3
7	6	5	4

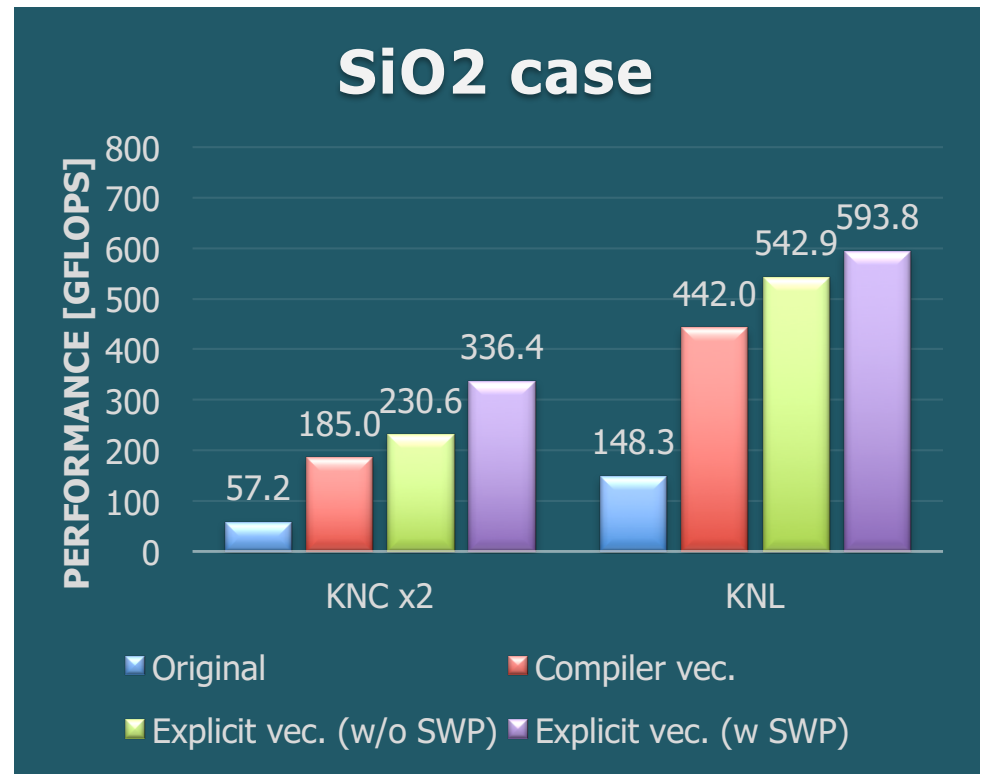
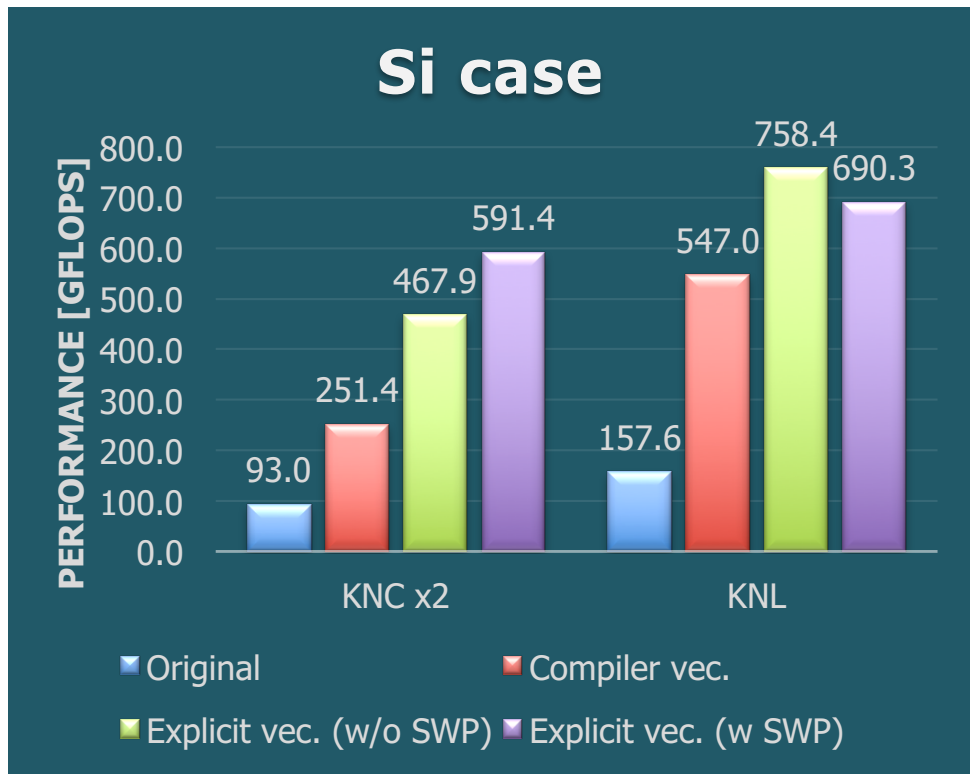
± 1
± 2
± 3
± 4

Computation
Direction



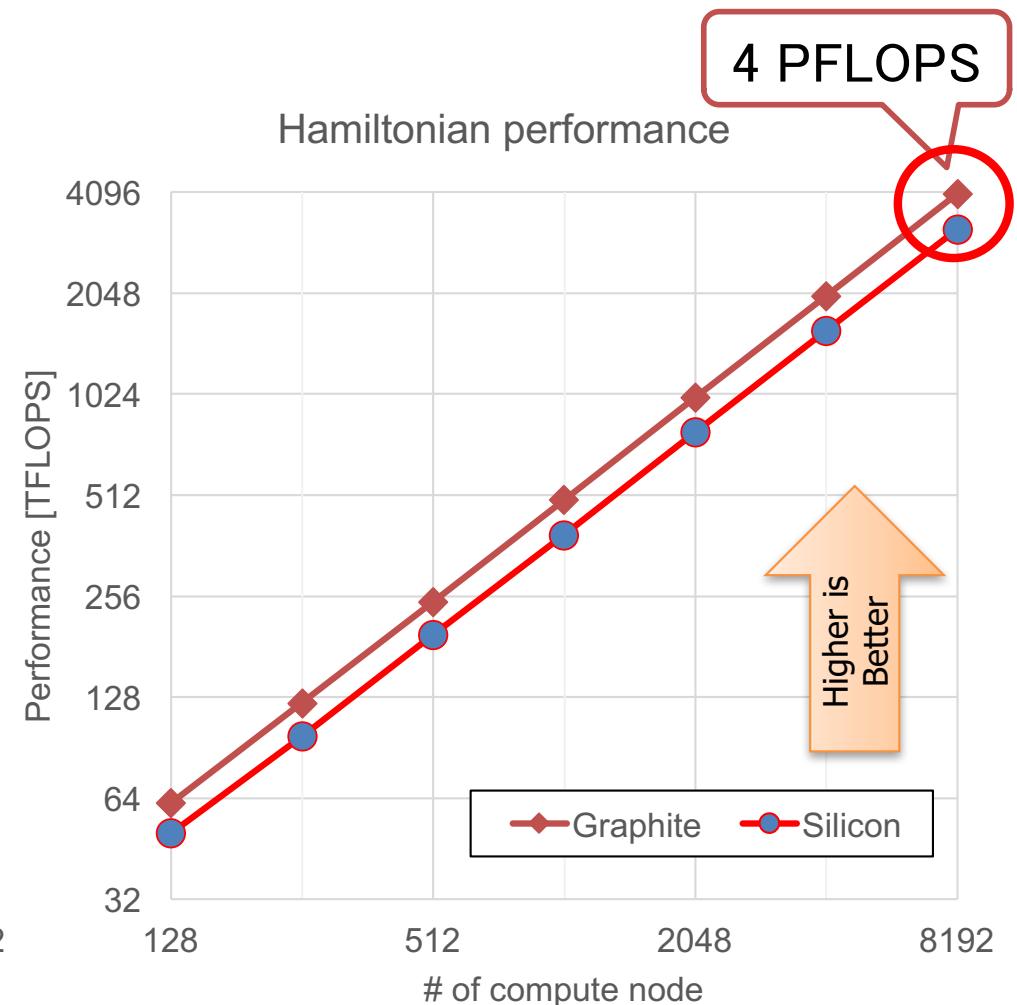
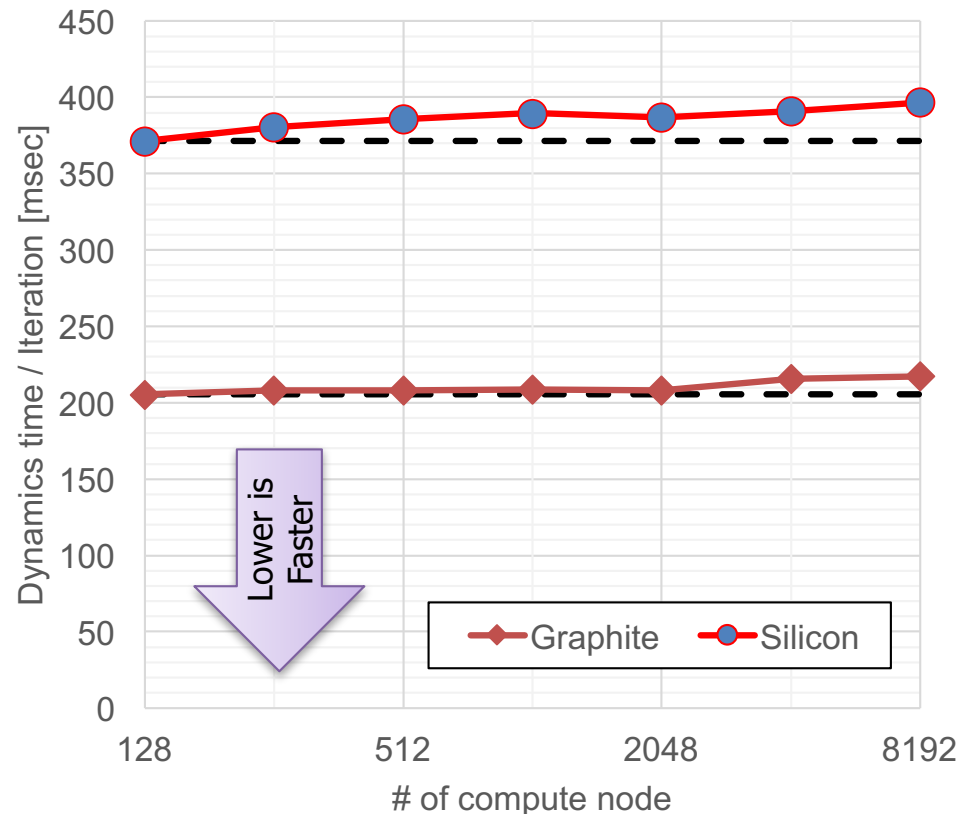
Memory direction

Stencil computation (3D) performance



>2x faster than KNC (at maximum) -> up to 25% of theoretical peak of KNL

Weak scaling on OFP full system



41

運用を通じて

運用を通じて

- 1年間の運用（実運用としては8ヶ月）を通じて
 - システムは基本的に安定動作している。各部品の故障率については想定範囲内。
 - ユーザによっては大規模・大量ジョブで運用しているが、ジョブサイズは多岐に渡っている
 - KNLチューニングの度合いはまちまち？
 - KNLは温度環境の性能（turbo boost freq.）に対するsensitivityが高い？
- 運用上の懸案
 - Burst Buffer（ファイルキャッシュ）は性能は出ているがいくつかの制約があり試験運用を継続中→間もなく本運用に入る予定
 - Cache/Flatメモリモードの効率的制御はノード単位での高速・安定リブートが可能になれば実施したい
 - ジョブ利用率はまだ不足、スケジューリングパラメータ等のチューニングを要する

OFPの位置付け

- 一般的に利用可能な国内リソースとしては最大性能
 - 大型ジョブをはじめとする各種・各サイズアプリケーションの資源としての利用
 - 大規模HPCチャレンジにより「京」を超えるリソースを提供
 - 今後、「京」が運用を停止し、ポスト「京」が出るまでのHPCI等における重要な資源となる
- メニーコア・アプリケーション開発
 - x86系科学技術計算向けメニーコア・アプリの開発プラットフォーム（AVX512等の命令に依存するコードはSkylake等にも引き継がれる）
 - McKernel、XcalableMP等の環境を提供
⇒ ポスト「京」への布石

まとめ

- OFPは実運用に供されているスーパーコンピュータとしては依然国内最高性能で、HPCIをはじめとする東大・筑波大の様々な利用プログラムに活用されている
- 1年間の運用を通じ、システムは基本的に安定稼働しているが、Burst Buffer やquick rebootが難しい等の運用上の改善が望まれる
- スケジューリングパラメータをチューニングし、利用率を上げていきたい
- McKernel, XMPといったシステムソフトウェア開発はOFPの性能改善、プログラミング環境改善だけでなくポスト「京」の開発にもつながる
- 大口・大規模ユーザは性能チューニングをよく行っており、研究を強力に推進している
⇒セミナーやワークショップを通じてノウハウを共有していきたい
- 一般運用・大規模HPCチャレンジを通じて計算科学・計算工学研究・教育に一層貢献していきたい